

*Материалы по палеонтологии и стратиграфии
Западной Сибири*

И. Г. КЛИМОВА

АММОНИТЫ ВАЛАНЖИНА ЗАПАДНО-СИБИРСКОЙ НИЗМЕННОСТИ

Осадки валанжина в Западной Сибири залегают на большой глубине под мощным покровом осадочных пород мела и кайнозоя. Обнажается валанжин только на северо-западе низменности, в бассейне р. Северной Сосьвы. На остальной территории отложения валанжина вскрыты с помощью бурения опорных и разведочных скважин. Вопрос о распространении валанжинских отложений, их характере, а также о более детальном стратиграфическом расчленении этих осадков решался по мере накопления материала в течение ряда лет. Наиболее детально валанжинские образования изучены на северо-востоке низменности, в Усть-Енисейской впадине, где на основании исследования фауны удалось провести расчленение осадков валанжина на подъярусы [Сакс и Ронкина, 1957; Бодылевский и Шульгина, 1958].

За последние годы на территории Западно-Сибирской низменности, в пределах между 54 и 69° с. ш., в отложениях валанжина, вскрытых буровыми скважинами, обнаружено большое количество органических остатков, в том числе аммониты, пелециподы, изредка белемниты, черви и чешуя рыб. Литологически валанжин этого региона представлен аргиллитами, глинами, алевролитами преимущественно серого, редко черного цвета. В Чулым-Енисейской впадине отложения валанжина представлены континентальными осадками. Определение фауны аммонитов позволило расчленить валанжинские осадки на отложения нижне-, средне- и верхневаланжинского возраста. Однако только в одном из вскрытых разрезов (Завьяловская скважина З-Р) на различных стратиграфических интервалах констатированы находки аммонитов как нижнего, так и среднего валанжина. Все другие разрезы охарактеризованы фауной какого-нибудь одного подъяруса.

Как видно из табл. 1, наиболее часты находки нижневаланжинских аммонитов. Почти повсеместно на низменности прослеживается нижневаланжинская зона *Tollia*. Аммониты среднего и верхнего валанжина найдены только в юго-западных районах низменности (см. рис. 2).

По представлениям Н. Н. Ростовцева [1958], Ф. Г. Гурари [1957] и других, морские осадки валанжина на всей территории Западно-Сибирской низменности, кроме ее Приенисейской части, входят в состав следующих, последовательно сменяющих друг друга свит: марьяновской (черные аргиллиты), верхняя часть которой считается соответствующей

Распространение аммонитов в отложениях валанжина Западно-Сибирской низменности

Время	Фауна	С к в а ж и н ы					
		Северо-запад низменности	Юго-запад низменности	Юг низменности	Центр низменности	Юго-восток низменности	Северо-восток низменности
Верхний валанжин	<i>Dichotomites</i> sp. ex gr. <i>Dichotomites polytomus</i> (Koenen).				Викуловская 2-Р 1896 м		
	<i>Polyptychites</i> aff. <i>polytychus</i> Keys.		Тобольская 3-Р 2108—2120 м. Челноковская 6-Р 1898—1904 м		Викуловские: 1-Р, 1866—1872 м 2-Р, 1921—1950 м		
Средний валанжин	<i>Temnoptychites</i> aff. <i>lgowensis</i> Nik.			Яковлевская 3-Р 1065 м			
	<i>Temnoptychites</i> sp. (сходный с <i>Temnoptychites</i> <i>triptychiformis</i> Bog.)				Завьяловская 3-Р 2178—2184 м		
	<i>Temnoptychites?</i> sp. indet.				Саргатские: 2-Р, 2297—2303 м 3-Р, 2302—2308 м		

<i>Tollia</i> aff. <i>anabarensis</i> (P a v l o w)			Омская 1-Р 2186—2257 м			
<i>Tollia sibirica</i> K l i m o v a sp. n.				Тарская 1-Р, 2485—2492 м Большереченская 1-Р, 2423—2435 м		
<i>Tollia</i> sp			Омская 1-Р, 2281 м Татарская 1-Р, 2280—2355 м Тебисская 1-Р 2159—2165 м	Саргатская 2-Р, 2478—2480 м Завьяловская 1-Р, 2318—2350 м	Колпашевская 2-Р, 2288 м	
<i>Tollia</i> sp. indet., <i>Tollia?</i> sp. indet.	Салехардская 1-кв, 273—289 м Чуэльские: 6-Т, 1663—1667 м 3-Т, 1646—1654 м 6-Р, 1655—1667 м 7-Р, 1587—1591 м		Омская 1-Р, 2281—2314 м Татарская 2-Р, 2343—2349 м	Тарская 1-Р, 2480—2493 м Покурская 1-Р, 2253 м		
<i>Subcraspedites</i> aff. <i>bidevezus</i> B o g.			Омская 1-Р, 2344 м Татарская 1-Р, 2327—2324 м			
<i>Subcraspedites</i> sp. I, <i>Subcraspedites</i> sp. indet., <i>Subcraspedites?</i> sp. indet.			Татарская 1-Р, 2417—2422 м	Большереченская 1-Р, 2404—2416 м Завьяловская 3-Р, 2420—2425 м Тарская 1-Р, 2474—2482 м Ново-Логиновская 2-Р, 2645—2651 м		Туруханская 1-Р, 1990—1996 м
<i>Paracraspedites</i> sp. indet., <i>Paracraspedites</i> sp. indet.	Деминская 19-Р, 1292—1295 м			Завьяловские: 3-Р, 2420—2425 м 1-Р, 2344—2350 м	Нарымская 1-Р, 2177—2181 м	

нижнему валанжину; куломзинской, представленной чередованием аргиллитов и алевролитов ниже-средневаланжинского возраста; тарской (песчанистые отложения), нижнюю половину которой относят к верхнему валанжину.

Согласно приведенной точке зрения, на всей той территории, где распространены эти свиты, в одно и то же время существовали одинаковые условия и формировались одинаковые осадки и также одновременно осуществлялся переход от глубоководных нижеваланжинских осадков

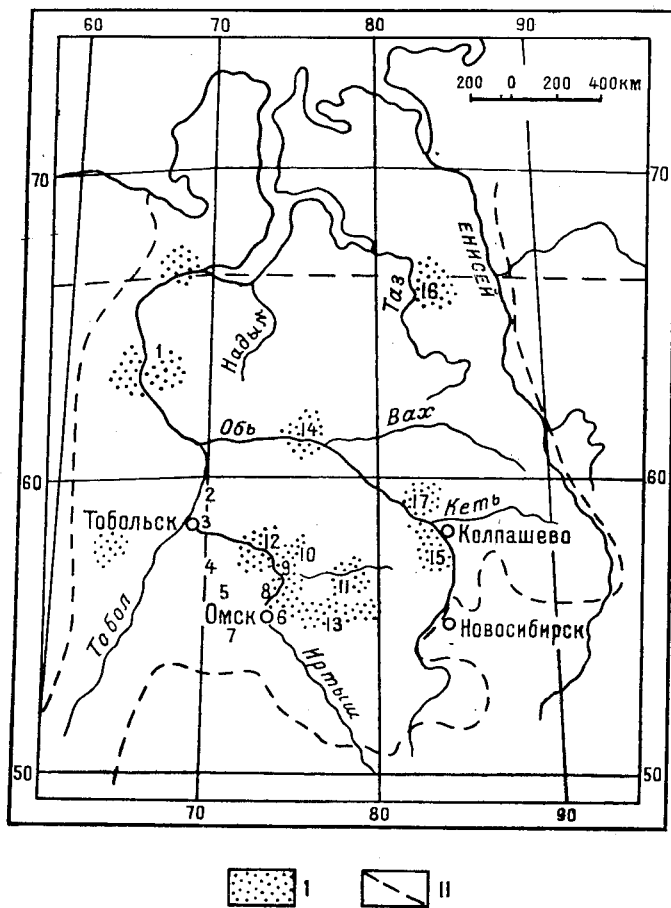


Рис. 1. Распространение нижеваланжинских аммонитов.

I — районы находок нижеваланжинских аммонитов; *II* — границы Западно-Сибирской низменности. Разведочные площади — 1 — Березовская, Чульская, Демисенная; 2 — Уватская, 3 — Тобольская; 4 — Викуловская; 5 — Челноковская; 7 — Яновлевская; 8 — Саргатская; 9 — Большереченская; 11 — Новологпновская; 12 — Завьяловская; 13 — Татарская; 15 — Колпашевская; 17 — Нарымская. Опорные скважины: 6 — Омская; 10 — Тарская; 14 — Покурская; 16 — Туруханская.

(марьяновская, куломзинская свиты) к более мелководным отложениям верхнего валанжина (тарская свита).

Указанная выдержанность фаций на площади и последовательность в осадконакоплении не подтверждается изученной нами фауной аммонитов. Так, на юго-западе низменности в черных аргиллитах марьяновской свиты, относимой геологами к нижнему валанжину, найден верхневаланжинский полиптихит (Тобольская скважина 3-Р, глубина 2108—2120 м); на юге низменности средневаланжинский аммонит обнаружен в тарской

«верхневаланжинской» свите (Яковлевская скважина З-Р, глубина 1065 м). В осадках, объединенных в куломзинскую свиту, имеются в разных частях низменности аммониты всех трех подъярусов валанжина.

Нашими определениями устанавливается, что в пределах исследуемой области одни и те же подъярусы валанжина выражены разными фациями — местами глинистыми, местами песчанистыми осадками.

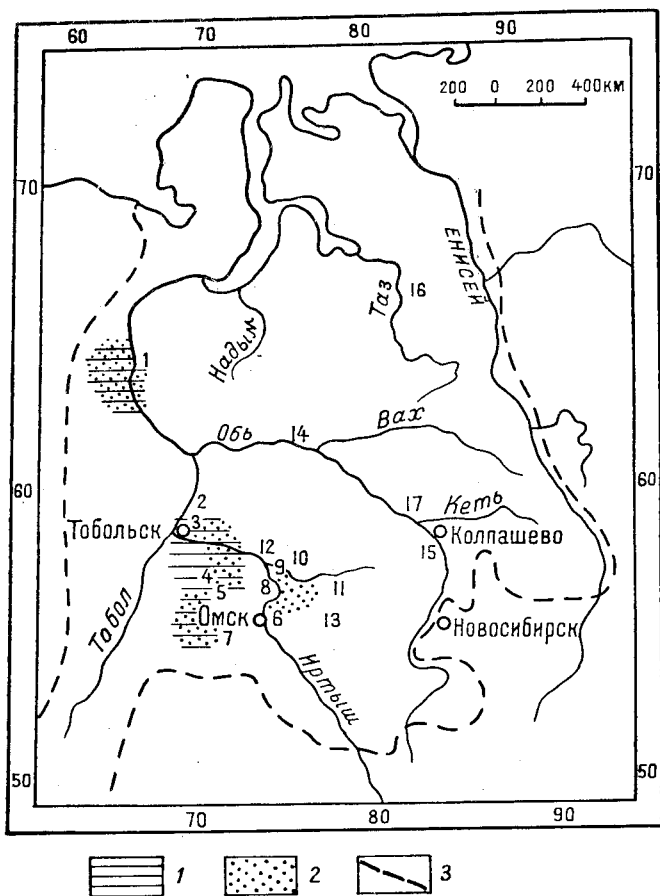


Рис. 2. Распространение средне- и верхневаланжинских аммонитов:

1 — районы находок верхневаланжинских аммонитов; 2 — районы находок средневаланжинских аммонитов; 3 — границы Западно-Сибирской низменности.

По данным изучения фауны аммонитов, представляется возможным составить приближенную схему распространения морского бассейна на протяжении валанжинского времени для территории Западно-Сибирской низменности (рис. 1, 2).

В раннем валанжине бассейн с нормальными морскими условиями, необходимыми для существования аммонитов, занимал почти всю Западно-Сибирскую низменность. Трансгрессия шла с севера и продвинулась далеко на юг низменности, примерно до широты транссибирской железнодорожной магистрали (рис. 1). В средневаланжинское время восточная часть Западно-Сибирской низменности испытывала, очевидно, некоторое поднятие, в связи с чем восточная граница нормального морского бассейна

значительно переместилась на запад (рис. 2). Этот процесс сокращения морского бассейна продолжался и в верхнем валанжине (рис. 2), поэтому находки верхне- и средневаланжинских аммонитов приурочены к западной части низменности.

Фауна аммонитов, населявшая валанжинские моря на территории низменности, является типичной для бореальной провинции: она известна из валанжина районов Арктики [Соколов, 1910], Северной Сибири [Павлов, 1914], севера Европейской части СССР [Богословский, 1902], Северной Германии [Коепен, 1902] и др.

ОПИСАНИЕ ФАУНЫ

СЕМЕЙСТВО CRASPEDITIDAE Spath, 1924

Род *SUBCRASPEDITES* Spath, 1924

Subcraspedites aff. *bidevexus* (Bogoslavsky) juv.

Табл. XIX, фиг. 3

1957. *Subcraspedites* sp. Климова, табл. 23, фиг. 2.

Материал. Одно раздавленное ядро молодой особи аммонита с хорошо сохранившейся скульптурой.

Описание. Раковина дискообразная. Пупок узкий. Пупковые ребра начинаются на пупковом перегибе. Ниже середины боковой поверхности ребра делятся, образуя трехветвистые пучки (очень редко встречаются двухветвистые пучки). Задняя ветвь имеет характер вставного ребра, приближаясь своим нижним концом к пучку, но не присоединяется к нему и затухает.

Относительно радиуса ребра направлены вперед. Внешние ребра выгибаются сначала назад, потом на вентральной стороне делают выгиб вперед. Ребра тонкие, с заостренным профилем.

Сравнения. От *Subcraspedites bidevexus* (Bogoslavsky) [Богословский, 1895, стр. 55, табл. III, фиг. 1, 2], с которым описываемый экземпляр обнаруживает сходство в форме раковины и скульптуре, он отличается более узким пупком, меньшим количеством двухветвистых пучков и не такой частой ребристостью на более ранней стадии роста. На экземплярах Н. А. Богословского задняя ветвь, имеющая характер вставного ребра, прослеживается у раковин большего диаметра, чем описываемая [Богословский, 1897, табл. III, фиг. 2]. Близкая форма (крупный экземпляр), определенная как *Subcraspedites* aff. *bidevexus* была найдена в керне Омской скважины 1-Р на глубине 2344—2345 м.

Распространение. *Subcraspedites bidevexus* (Bogoslavsky) характеризует нижний валанжин (рязанский горизонт) Европейской части СССР.

Местонахождение. Татарская разведочная скважина 1-Р, глубина 2327—2344 м.

Subcraspedites sp. 1

Табл. XIX, фиг. 1, 2

1957. *Subcraspedites* sp. n. Климова, Табл. 22, фиг. 6.

Материал. Два небольших обломка довольно крупных раковин.

Описание. По реконструкции форма раковины дискообразная, пупок узкий или умеренно узкий. Пупковые ребра делятся в нижней

трети оборота, образуя трех- и четырехветвистые пучки, передняя и задняя ветви которых часто своими нижними концами приближаются к пучку и затухают (т. е. являются вставными).

Ребра в пучках делают очень слабый выгиб назад; на вентральной стороне ребра значительно сильнее выгибаются вперед.

С р а в н е н и я. От наиболее близкого вида *Subcraspedites bidevexus* (В о г о с л о в.) [Богословский, 1895, стр. 55, табл. III, фиг. 1—3] описываемая форма отличается более низкой точкой ветвления и иным характером пучков, которые на экземплярах, изображенных Н. А. Богословским, более широкие и четко выраженные. Плохая сохранность не позволяет дать название этому, скорее всего, новому виду, который по имеющимся признакам не сходен ни с одним из описанных представителей рода *Subcraspedites*.

Р а с п р о с т р а н е н и е. Род *Subcraspedites* является руководящим для нижнего валанжина Европейской части СССР, Мангышлака, Северной Сибири, Гренландии.

М е с т о н а х о ж д е н и е. Тарская опорная скважина, глубина 2474—2482 м. Большереченская разведочная скважина 1-Р, глубина 2409—2418 м.

Род *TOLLIA* P a v l o w, 1914

Tollia aff. *anabarensis* (P a v l o w)

Табл. XIX, фиг. 4—6

1957. *Tollia anabarensis* К л и м о в а, табл. 22, фиг. 5а, в.

М а т е р и а л. Два крупных раздавленных аммонита, из которых больший представлен почти целой раковиной (табл. I, фиг. 4, 5), меньший — примерно половиной раковины (табл. I, фиг. 6). На большем экземпляре вещество раковины сохранилось полностью, на другом частично.

О п и с а н и е. Раковина дискообразная. Пупок умеренно узкий, ступенчатый, неглубокий. Стенка пупка невысокая, почти отвесная.

Внутренние ребра начинаются у пупкового шва, на пупковом перегибе ребра делают небольшой выгиб назад в виде запятой и затем отклоняются от радиуса вперед. Примерно на середине боковой поверхности внутренние ребра ветвятся, образуя двойные и тройные пучки. Направление внешних ребер несколько иное, чем внутренних: они слабо отклоняются назад, затем направляются вперед и на вентральной стороне делают выгиб вперед.

Двойные ребра наблюдаются при меньшем диаметре. С ростом раковины получают преобладание тройные пучки полиптихитового типа, т. е. задняя ветвь делится повторно на две. Иногда задняя ветвь оказывается вставной, т. е. она приближается нижним концом к пучку, но не присоединяется к нему. У более крупного экземпляра (табл. I, фиг. 4) при переходе от стадии двойного ветвления к стадии тройного наблюдается аномалия в скульптуре: имеется несколько пучков, более узких, чем остальные, причем главные ребра этих пучков понижены и имеют волосовидный характер. На другом экземпляре, меньшем по своим размерам (табл. I, фиг. 6), в нижней части боковой поверхности сохранились обрывки лопастной линии — вспомогательные лопасти и седла.

Лопастии примерно в два раза уже и короче седел; седла невысокие, двураздельные. Линия, соединяющая вершины седел, является касательной к пучку.

Р а з м е р ы (табл. I, фиг. 4): диаметр — 59 мм; ширина пупка — 17%; количество главных ребер — 32; коэффициент ветвления — 2,4.

Размеры голотипа *Tollia anabarensis* (P a v l o w) [Павлов, Юрские и нижнемеловые Cephalopoda Северной Сибири, 1914, табл. IV, фиг. 3]: диаметр — 61 мм; ширина пупка — 22%; количество главных ребер — 32; коэффициент ветвления — 2,3.

С р а в н е н и я. Описываемые экземпляры обнаруживают сходство с *Tollia anabarensis* (P a v l o w) [Павлов, 1914, стр. 27, табл. IV, фиг. 3].

Отличием нашей формы от указанного вида является отсутствие пучков, в которых, согласно описанию А. П. Павлова (на изображении это не прослеживается), передняя ветвь отходит от пучка выше задней, и более густая ребристость (см. выше).

Указанные отличия и недостаточная сохранность описываемых аммонитов позволяют считать нашу форму только сходной с *Tollia anabarensis* (P a v l o w).

Р а с п р о с т р а н е н и е. Нижний валанжин Северной Сибири.

М е с т о н а х о ж д е н и е. Омская опорная скважина 1-Р, глубина 2186 м; 2257 м.

Tollia sibirica К л и м о в а, sp. n.

Табл. XX, фиг. 2—9

1957. *Tollia sibirica* К л и м о в а, табл. 22, фиг. 1а, 1б, 1в, 2, 3, 4а, 4б.

М а т е р и а л. 15 обломков или почти целых отпечатков и ядер раковин различной величины, позволяющих наблюдать внутренние и внешние обороты. Раковины сплющены, но в такой степени, что можно судить о форме раковин, характере поперечного сечения и ширине пупка. На одном из крупных экземпляров сохранилась лопастная линия.

О п и с а н и е. Раковина дискообразная, наружная сторона округлая. Поперечное сечение (табл. II, фиг. 6) имеет форму вытянутого овала. Пупок неглубокий, от узкого до умеренно-узкого. Стенка пупка низкая, покатая. Ребра начинаются на стенке пупка в ее верхней части. Главные ребра делятся чуть ниже середины боковой поверхности. Скульптура внутренних и внешних оборотов различная. На внутренних оборотах ребра двойные. Они сохраняются у раковины до диаметра 60—70 мм, когда появляются тройные пучки (см. коэффициент ветвления в таблице измерений).

На внутренних оборотах ребра образуют ясный сигмовидный изгиб, который с ростом раковины исчезает — при диаметре 50 мм этого изгиба уже нет. Тройные пучки на крупных экземплярах характеризуются некоторым понижением ребер в точке ветвления, при этом передняя ветвь иногда имеет характер вставного ребра.

На вентральной стороне как на внутренних, так и на внешних оборотах, ребра делают выгиб вперед. Лопастная линия видна не полностью (табл. II, фиг. 2, 3): сохранились первая боковая лопасть, вторая боковая лопасть, четыре вспомогательных лопасти и соответствующие им седла.

Первая боковая лопасть трехконечная, несимметричная; вторая боковая лопасть слабо расчленена. Вспомогательные лопасти своими вершинами направлены от центра, они короче и уже вспомогательных седел.

Первое боковое седло и второе боковое седло несимметрично двураздельные, внешняя ветвь уже внутренней. Вспомогательные седла слабо изрезаны. Линия, на которой лежат вершины всех седел, является касательной к пупку.

Р а з м е р ы (являются приближенными, так как аммониты деформированы):

Диаметр	15	17	19,5	21	21	22	68	71	73
Ширина пупка, %	13	18	20	14	19	21	17	21	20
Высота оборота, %	40	32	25	—	—	26	—	—	—
Толщина оборота, %	—	—	—	—	—	23	—	—	—
Коэффициент ветвления	2	2	2	2	2	3	3	3	2,4

С р а в н е н и я. Продолжительная стадия двойного ветвления сближает описываемую форму с *Paracraspedites tzikwinianus* (Bogoslav.) [Богословский, 1895, табл. II, рис. 6]. Однако такие признаки как форма раковины, узкий пупок, лопастная линия, сглаживание ребер в точке ветвления свидетельствуют о принадлежности наших экземпляров к роду *Tollia* P a v l o w.

Наиболее близким видом является *Tollia tolli* (P a v l o w) [Павлов, 1914, стр. 39, табл. 12, фиг. 3], от которого описываемые аммониты отличаются более длинной стадией двойного ветвления и несколько иным характером лопастной линии. Седла у описываемого вида в основании шире, к вершине сужаются; у *Tollia tolli*, наоборот, седла в основании несколько уже, а к вершине шире. Первая боковая лопасть у наших экземпляров более короткая и широкая, чем у вида А. П. Павлова.

Р а с п р о с т р а н е н и е. Нижний валанжин Западно-Сибирской низменности.

М е с т о н а х о ж д е н и я. Тарская опорная скважина 1-Р, глубина 2488—2492 м; Большебереченская разведочная скважина 1-Р, глубина 2423—2429 м.

Tollia sp.

Табл. XIX, фиг. 7—9, табл. XX, фиг. 1

М а т е р и а л. Восемь экземпляров; один имеет диаметр около 60 мм (табл. I, фиг. 7), остальные в диаметре не превышают 35 мм. Сохранились ядра раковин, раздавленные и обломанные в той или иной степени. На одном из молодых экземпляров можно проследить лопастную линию.

О п и с а н и е. Раковина дискообразная. Боковые поверхности слабо выпуклые, пупок умеренно узкий, неглубокий. Скульптура представлена внутренними ребрами, которые чуть ниже середины боковой поверхности делятся на две ветви. Внутренние ребра начинаются у пупкового шва. На пупковом перегибе они делают небольшой выгиб назад, затем ребра слабо сигмообразно выгибаются на боковой поверхности и на вентральной стороне делают выгиб вперед.

На взрослых оборотах сигмообразный изгиб ребер становится почти незаметен. Лопастная линия представлена наружной лопастью, двумя боковыми; кроме этого, можно видеть две вспомогательные лопасти и соответствующие им седла.

Первая боковая и вторая боковая лопасти узкие, зазубренные с боков, трехраздельные, причем средняя ветвь расположена в центре и длиннее боковых; вторая боковая лопасть уже и короче первой боковой лопасти. Вспомогательные лопасти очень слабо изрезаны.

Седла примерно в два раза шире лопастей. Наружное седло самое большое и самое изрезанное. Боковые седла плохо сохранились. Вспомогательные седла слабо рассеченные, двураздельные, третье вспомогательное седло расположено у пупкового шва.

Лопастная линия по направлению к пупку сильно отступает вперед таким образом, что вершины седел расположены на касательной к линии пупкового перегиба.

С р а в н е н и я. Описываемая форма по характеру скульптуры напоминает внутренние обороты *Tollia sibirica* sp. n. (табл. II, фиг. 5). Узкий пупок и форма раковины тоже указывают на близость этих форм. Однако отсутствие тройных пучков как на молодых, так и на взрослых экземплярах описываемого вида существенно отличает их друг от друга. Описываемые аммониты обнаруживают наибольшее сходство с экземплярами из Северной Сибири, определенными В. И. Бодылевским под названием *Tollia* sp. n. В.

Р а с п р о с т р а н е н и е. *Tollia* sp. n. В. (В о д у л е в с к у) найдена в отложениях нижнего валанжина Северной Сибири.

М е с т о н а х о ж д е н и е. Татарские разведочные скважины 1-Р, глубина 2280—2355 м, 2-Р, глубина 2343—2349 м; Саргатская разведочная скважина 2-Р, глубина 2478—2480 м.

Род *TEMNOPTYCHITES* P a v l o w, 1914

Temnoptychites aff. *lgowensis* (N i k i t i n)

Табл. XX, фиг. 10—11

1957. *Temnoptychites* aff. *lgowensis* К л и м о в а, табл. 23, фиг. 3а, 3б.

М а т е р и а л. Обломок ядра не крупной раковины аммонита (размер диаметра по реконструкции — около 40 мм), на котором видна скульптура двух верхних третей боковой поверхности и вентральной стороны.

О п и с а н и е. Раковина дискообразная. Главные ребра в нижней трети боковой поверхности делятся, образуя четырехветвистые пучки, в которых ветви отходят одна следом за другой. Передняя ветвь своим нижним концом приближается, но не присоединяется к пучку. Ребра слабо S-образно изогнутые, несколько наклонены вперед. На середине вентральной стороны ребра сглаживаются (табл. II, фиг. 11), так что образуется гладкая полоса с чуть заметными следами ребер.

С р а в н е н и я. Описываемая форма обнаруживает сходство в скульптуре с *Temnoptychites lgowensis* (N i k i t i n) [Никитин, 1888, стр. 28, табл. II, фиг. 6]. Отличием от указанного вида является вставной характер переднего внешнего ребра. Подобные ребра, судя по изображению, помещенному в работе Богословского [Богословский, 1902, стр. 98, табл. II, фиг. 6], встречаются на раковине *Temnoptychites* cf. *lgowensis*, хотя в описании этот признак не отмечается. Возможно, что вставной характер переднего внешнего ребра прослеживается только на ядре. Создается впечатление, что высота поперечного сечения нашего экземпляра меньше высоты аммонита, изученного С. Н. Никитиным.

Р а с п р о с т р а н е н и е. *Temnoptychites lgowensis* характеризует средний валанжин центра и севера Европейской части СССР.

М е с т о н а х о ж д е н и е. Яковлевская разведочная скважина 3-Р, глубина 1061—1069 м.

Temnoptychites (?) sp.

Табл. XXI, фиг. 1—4

1957. *Sibirskites* sp. ind. juv. К л и м о в а, табл. 23, фиг. 6а, 6б, 6в.

М а т е р и а л. 16 экземпляров; два являются неполными ядрами крупных аммонитов с диаметром более 25 мм, два представляют собой отпечатки вентральной стороны, и 12 — внешние и внутренние ядра раковин небольшого диаметра.

О п и с а н и е. Раковина вздутая. Вентральная сторона округлая. Пупок умеренно узкий, неглубокий. Ширина пупка, как видно из приведенных измерений, с ростом раковины незначительно увеличивается. Ребра начинаются вблизи пупкового шва, на краю пупка выгибаются назад, затем направляются вперед и без изменений достигают верхнего края боковой поверхности, где они повышаются и исчезают. Вентральная сторона гладкая с частыми чуть заметными струйками, очевидно, линиями роста. Ребра расположены не часто, с ростом раковины расстояние между ребрами увеличивается. Ребра заострены.

Характер скульптуры при увеличении диаметра раковины не изменяется.

Р а з м е р ы:

Диаметры, мм	14	18	20	25
Ширина пупка, %	28	28	30	32

С р а в н е н и я. Первоначально эти аммониты нами (1957) были отнесены к роду *Simbirskites*. Для сравнения были взяты молодые экземпляры *Simbirskites* (в диаметре не более 18 мм) из готеривских отложений района Ульяновска. На этой стадии роста вентральная сторона у данных представителей рода *Simbirskites* такая же гладкая, как и у наших аммонитов. Однако при диаметре более 15—18 мм у симбирскитов на вентральной стороне появляются отчетливые ребра, тогда как у описываемой формы вентральная сторона остается гладкой. Непосредственный просмотр коллекции, описанной А. П. Павловым в работе «Le crétacé inférieur de la Russie et sa faune, 1901», позволил установить, что у *Simbirskites decheni* L a h u s e n скульптура на вентральной стороне раковины обнаруживается при диаметре меньшем, чем 15 мм. Резкое понижение ребер и отсутствие скульптуры на вентральной стороне при диаметре раковины более 18 мм не характерно для рода *Simbirskites*. По этой причине описываемые экземпляры скорее следует относить к роду *Temnoptychites*.

Отличием от всех известных представителей рода *Temnoptychites* является отсутствие ветвления ребер. От имеющихся в коллекции В. И. Бодылевского экземпляров нового вида рода *Temnoptychites* из среднего валанжина Северной Сибири (район р. Анабар), обозначенных как *Temnoptychites* sp. n. А., которые характеризуются неразветвляющимися грубыми редкими ребрами, наши аммониты отличаются более высокой и округлой вентральной стороной и менее сильными ребрами.

На основании всего сказанного, а также из-за невозможности проследить лопастную линию на описанных экземплярах последние относятся к роду *Temnoptychites* со знаком вопроса.

Р а с п р о с т р а н е н и е. *Temnoptychites* является руководящим родом для среднего валанжина Европейской части СССР, Северной и Западной Сибири, Новой Земли и Гренландии.

М е с т о н а х о ж д е н и е. Саргатские разведочные скважины 2-Р (глубина 2297—2303 м) и 3-Р (глубина 2302—2308 м).

СЕМЕЙСТВО POLYPTYCHITIDAE S p a t h, 1924

Род POLYPTYCHITES P a v l o w, 1892

Polyptychites aff. *polyptychus* K e y s e r l i n g

Табл. XXI, фиг. 5—8

1957. *Polyptychites* ex gr. *polyptychus* К л и м о в а, табл. 23, фиг. 5.

М а т е р и а л. Четыре раздавленных ядра, самое крупное достигает в диаметре 25 мм.

О п и с а н и е. В результате деформации остатков аммонитов нельзя судить о форме раковины. Пупок от узкого до умеренно узкого. Внутрен-

ние ребра начинаются у пупкового шва и в нижней трети оборота делятся, образуя трехветвистые пучки. В точке ветвления ребра сильно повышаются.

Пучки типично полиптихитовые, т. е. внутреннее ребро делится на две ветви, из которых задняя делится еще на две примерно на середине оборота. В каждом пучке передняя ветвь образует характерный выгиб вперед вблизи точки ветвления; задняя часть слабо выгнута назад. Средняя ветвь отклоняется от радиуса под острым углом вперед. Редко встречаются пучки, в которых вторая ветвь делится ниже середины боковой стороны, т. е. создается впечатление, что все три ветви отходят от одной точки.

С р а в н е н и я. При сравнении с полиптихитами соответствующего диаметра из коллекции, описанной Н. А. Богословским [1902], отмечается сходство в скульптуре наших аммонитов с *Polyptychites polyptychus* Keyserling.

Недостаточная сохранность позволяет определить описываемую форму только как близкую к *Polyptychites polyptychus* Keyserling.

Кроме описанных экземпляров, автором был определен под тем же названием (*Polyptychites* aff. *polyptychus* Keyserling) маленький аммонит из Тобольской скважины З-Р (с глубины 2108—2120 м), хорошо сохранивший скульптуру из типичных полиптихитовых (трехреберных) пучков.

Р а с п р о с т р а н е н и е. *Polyptychites polyptychus* имеет широкое распространение в верхнем валанжине Европейской части СССР, Северной Сибири, Гренландии, Шпицбергена.

М е с т о н а х о ж д е н и е. Викуловские разведочные скважины 1-Р, глубина 1866—1872 м и 2-Р, глубина 1921—1953 м.

Род *DICHOTOMITES* Коенен, 1909

Dichotomites sp. (ex gr. *Dichotomites polytomus* Коенен).

Табл. XXI, фиг. 9

1957. *Dichotomites* ex gr. *polytomus* Климова, фиг. 4, табл. 23.

М а т е р и а л. Небольшой обломок двух нижних третей боковой поверхности довольно крупной раковины с ясной скульптурой.

О п и с а н и е. Главные ребра начинаются у пупкового шва. На пупковом перегибе ребра повышаются и утолщаются. В нижней трети оборота пупковые ребра делятся на две ветви. Между пучками имеются вставные ребра, которые, в свою очередь, на середине боковой поверхности тоже разветвляются на две ветви. Некоторые из вставных ребер своими нижними концами приближаются к главному ребру, создавая впечатление бидихотомного пучка.

С р а в н е н и я. На основании скульптуры описываемая форма отнесена к роду *Dichotomites*; наибольшее сходство она обнаруживает с *Dichotomites polytomus* Коенен [Koenen, 1902, табл. XVI, фиг. 4]. Недостаточная сохранность экземпляра не позволяет определить степень его родства с указанным видом.

Р а с п р о с т р а н е н и е. *Dichotomites polytomus* Коенен описан из верхнего валанжина Северной Германии. По-видимому, это соответствует зоне *Polyptychites polyptychus* и *Dichotomites bidichotomus* севера Европейской части СССР, Северного Урала, Северной Сибири.

ЛИТЕРАТУРА

- Богословский Н. А. Рязанский горизонт. Материалы для геологии России, т. 18, 1895.
- Богословский Н. А. Материалы для изучения нижнемеловой аммонитовой фауны центральной и северной России. Тр. Геол. Ком., нов. серия, вып. 2, 1902.
- Бодылевский В. И., Шульгина Н. И. Юрские и меловые фауны низовьев Енисея. Труды НИИГА, т. 93, 1958.
- Гурари Ф. Г. Геология и перспективы нефтегазосности Обь-Иртышского междуречья. Труды СНИИГГИМС, вып. 3, 1959.
- Климова И. Г. В книге «Стратиграфия мезозоя и кайнозоя Западно-Сибирской низменности». Гостехиздат, М., 1957.
- Никитин С. Следы мелового периода в центральной и северной России. Труды Геол. Ком., т. V, № 2, 1888.
- Павлов А. П. Юрские и нижнемеловые Cephalopoda Северной Сибири. Записки Академии наук, т. XXI, № 4, 1914.
- Ростовцев Н. Н. Геологическое строение и перспективы нефтегазосности Западно-Сибирской низменности. Труды ВСЕГЕИ, т. 20, 1958.
- Сакс В. Н. и Роккина З. З. Юрские и меловые отложения Усть-Енисейской впадины. Труды НИИГА, т. 90, 1957.
- Соколов Д. Мезозойские окаменелости с о-ва Преображения и о-ва Бегичева. Труды Геол. Музея Академии наук, т. 4, 1910.
- Копен А. Ammonitiden des Norddeutschen Neocom. Abh. d. Preuss. geol. Landesanstalt, 24, 1902.
- Равлов А. Le Crétacé inférieur de la Russie et sa faune. Mém. d. l. Soc. des Natur. d. Moscou, r. XVI, 3, 1901.
-

ТАБЛИЦА XIX

- Фиг. 1, 2 — *Subcraspedites* sp. I. 1 — Тарская опорная скважина, глубина 2474—2482 м; 2 — Большепереченская скважина 1-Р, глубина 2409—2416 м.
- Фиг. 3 — *Subcraspedites* aff. *bidevexus* (Bogoslavsky) juv. Татарская скважина 1-Р, глубина 2327—2344 м.
- Фиг. 4, 5, 6 — *Tollia* all. *anabarensis* (Pavlov) Омская опорная скважина; 4, 5 — глубина 2186 м; Фиг. 6 — глубина 2257 м.
- Фиг. 7, 8, 9 — *Tollia* sp, 7 — Саргатская скважина 2-Р, глубина 2478—2480 м; 8 — Татарская скважина 2-Р, глубина 2343—2349 м, 9 — Татарская скважина 1-Р, глубина 2349—2355 м.

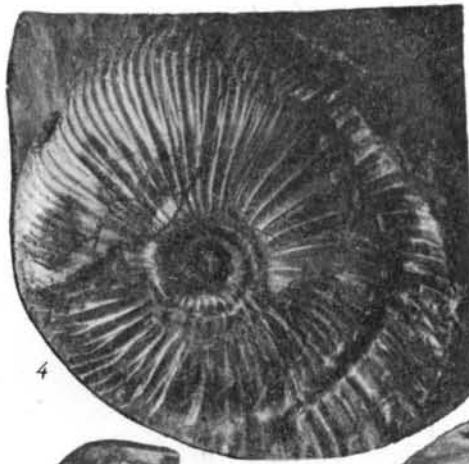
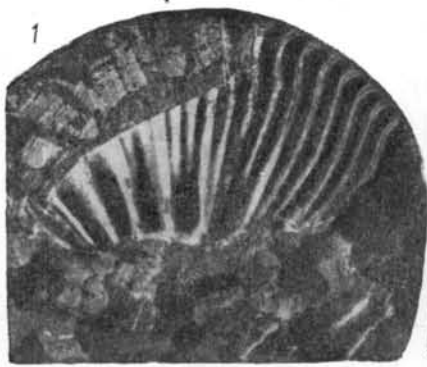


ТАБЛИЦА XX

- Фиг. 1 — *Tollia* sp. Татарская скважина 1-Р, глубина 2280—2287 м.
Фиг. 2—9 — *Tollia sibirica* Климова sp. n. 2—7 — Тарская опорная скважина;
2, 3 — глубина 2485 м. 4, 5, 6 — глубина 2492 м: 4 — внешний оборот; 5 — внутренний оборот; 6 — поперечное сечение. 7 — глубина 2492 м; 8 — Большереченская скважина 1-Р, глубина 2423—2429 м; 9 — Тарская опорная скважина, глубина 2483 м.
Фиг. 10, 11 — *Temnoptychites* aff. *lgowensis* (Nikitin) Яковлевская скважина 3-Р, глубина 1065 м.

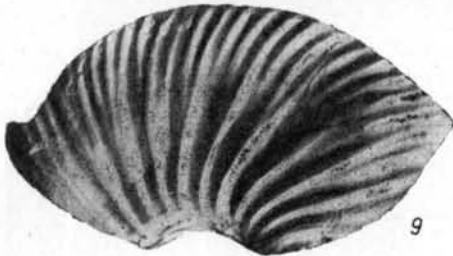
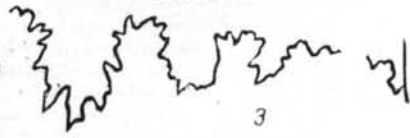


ТАБЛИЦА XXI

- Фиг. 1—4 — *Temnoptychites* (?) sp. indet. 1, 2, 3 — Саргатская скважина 3-Р; 1 — глубина 2302—2308 м; 2—3 — глубина 2302—2308 м; 4 — Саргатская скважина 2-Р, глубина 2297—2303 м.
- Фиг. 5—8 — *Polyptychites* aff. *polyptychus* Keyser. 5 — Тобольская скважина 3-Р, глубина 2108—2120 м. Викуловская скважина 2-Р: 6 — глубина 1921 м; 7 — глубина 1953 м; 8 — глубина 1936 м.
- Фиг. 9 — *Dichotomites* sp. (ex gr. *Dichotomites polytomus* (Koepen)). Викуловская скважина 2-Р, глубина 1896 м.



1



2



3



5



4



6



7



8



9